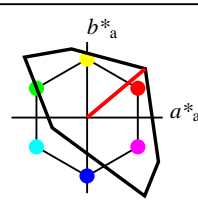


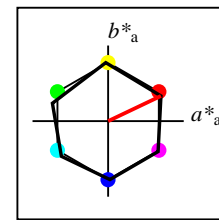
**%Gamut**  
 $u^*_{rel} = 158$   
**%Regularity**  
 $g^*_{H,rel} = 20$   
 $g^*_{C,rel} = 37$

<b>TLS00</b>					
	$L^*=L_a^*$	$a_a^*$	$b_a^*$	$C_{ab,a}^*$	$h_{ab,a}^*$
O <sub>M</sub>	50.5	76.92	64.55	100.42	40
Y <sub>M</sub>	92.66	-20.69	90.75	93.08	103
L <sub>M</sub>	83.63	-82.75	79.9	115.04	136
C <sub>M</sub>	86.88	-46.16	-13.55	48.12	196
V <sub>M</sub>	30.39	76.06	-103.59	128.52	306
M <sub>M</sub>	57.3	94.35	-58.41	110.97	328
N <sub>M</sub>	0.01	0.0	0.0	0	
W <sub>M</sub>	95.41	0.0	0.0	0	
R <sub>CIE</sub>	39.92	58.74	27.99	65.07	25
J <sub>CIE</sub>	81.26	-2.88	71.56	71.62	92
G <sub>CIE</sub>	52.23	-42.41	13.6	44.55	162
B <sub>CIE</sub>	30.57	1.41	-46.46	46.49	272



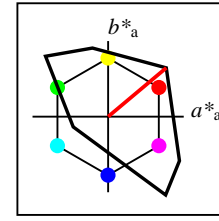
**%Gamut**  
 $u^*_{rel} = 158$   
**%Regularity**  
 $g^*_{H,rel} = 20$   
 $g^*_{C,rel} = 37$

<b>TLS00a; adapted CIELAB data</b>					
	$L^*=L_a^*$	$a_a^*$	$b_a^*$	$C_{ab,a}^*$	$h_{ab,a}^*$
O <sub>Ma</sub>	50.5	76.92	64.55	100.42	40
Y <sub>Ma</sub>	92.66	-20.69	90.75	93.08	103
L <sub>Ma</sub>	83.63	-82.75	79.9	115.04	136
C <sub>Ma</sub>	86.88	-46.16	-13.55	48.12	196
V <sub>Ma</sub>	30.39	76.06	-103.59	128.52	306
M <sub>Ma</sub>	57.3	94.35	-58.41	110.97	328
N <sub>Ma</sub>	0.01	0.0	0.0	0	
W <sub>Ma</sub>	95.41	0.0	0.0	0	
R <sub>CIE</sub>	39.92	58.74	27.99	65.07	25
J <sub>CIE</sub>	81.26	-2.88	71.56	71.62	92
G <sub>CIE</sub>	52.23	-42.41	13.6	44.55	162
B <sub>CIE</sub>	30.57	1.41	-46.46	46.49	272



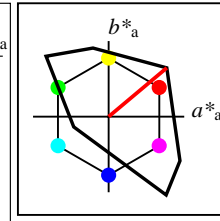
**%Gamut**  
 $u^*_{rel} = 100$   
**%Regularity**  
 $g^*_{H,rel} = 78$   
 $g^*_{C,rel} = 100$

<b>NRS18a; adapted CIELAB data</b>					
	$L^*=L_a^*$	$a_a^*$	$b_a^*$	$C_{ab,a}^*$	$h_{ab,a}^*$
O <sub>Ma</sub>	56.71	69.87	33.29	77.4	25
Y <sub>Ma</sub>	56.71	-3.1	77.34	77.4	92
L <sub>Ma</sub>	56.71	-73.68	23.63	77.39	162
C <sub>Ma</sub>	56.71	-61.81	-46.54	77.39	217
V <sub>Ma</sub>	56.71	2.35	-77.34	77.39	272
M <sub>Ma</sub>	56.71	66.07	-40.3	77.4	329
N <sub>Ma</sub>	18.01	0.0	0.0	0	
W <sub>Ma</sub>	95.41	0.0	0.0	0	
R <sub>CIE</sub>	39.92	58.74	27.99	65.07	25
J <sub>CIE</sub>	81.26	-2.88	71.56	71.62	92
G <sub>CIE</sub>	52.23	-42.41	13.6	44.55	162
B <sub>CIE</sub>	30.57	1.41	-46.46	46.49	272



**%Gamut**  
 $u^*_{rel} = 158$   
**%Regularity**  
 $g^*_{H,rel} = 20$   
 $g^*_{C,rel} = 37$

<b>TLS00a; adapted CIELAB data</b>					
	$L^*=L_a^*$	$a_a^*$	$b_a^*$	$C_{ab,a}^*$	$h_{ab,a}^*$
O <sub>Ma</sub>	50.5	76.92	64.55	100.42	40
Y <sub>Ma</sub>	92.66	-20.69	90.75	93.08	103
L <sub>Ma</sub>	83.63	-82.75	79.9	115.04	136
C <sub>Ma</sub>	86.88	-46.16	-13.55	48.12	196
V <sub>Ma</sub>	30.39	76.06	-103.59	128.52	306
M <sub>Ma</sub>	57.3	94.35	-58.41	110.97	328
N <sub>Ma</sub>	0.01	0.0	0.0	0	
W <sub>Ma</sub>	95.41	0.0	0.0	0	
R <sub>CIE</sub>	39.92	58.74	27.99	65.07	25
J <sub>CIE</sub>	81.26	-2.88	71.56	71.62	92
G <sub>CIE</sub>	52.23	-42.41	13.6	44.55	162
B <sub>CIE</sub>	30.57	1.41	-46.46	46.49	272



**%Gamut**  
 $u^*_{rel} = 158$   
**%Regularity**  
 $g^*_{H,rel} = 20$   
 $g^*_{C,rel} = 37$

<b>TLS00</b>					
	$L^*=L_a^*$	$a_a^*$	$b_a^*$	$C_{ab,a}^*$	$h_{ab,a}^*$
O <sub>M</sub>	50.5	76.92	64.55	100.42	40
Y <sub>M</sub>	92.66	-20.69	90.75	93.08	103
L <sub>M</sub>	83.63	-82.75	79.9	115.04	136
C <sub>M</sub>	86.88	-46.16	-13.55	48.12	196
V <sub>M</sub>	30.39	76.06	-103.59	128.52	306
M <sub>M</sub>	57.3	94.35	-58.41	110.97	328
N <sub>M</sub>	0.01	0.0	0.0	0	
W <sub>M</sub>	95.41	0.0	0.0	0	
R <sub>CIE</sub>	39.92	58.74	27.99	65.07	25
J <sub>CIE</sub>	81.26	-2.88	71.56	71.62	92
G <sub>CIE</sub>	52.23	-42.41	13.6	44.55	162
B <sub>CIE</sub>	30.57	1.41	-46.46	46.49	272

<i>n</i>	<i>in</i>	System	<i>lab*</i> <i>o3</i>	<i>lab*</i> <i>l3</i>	<i>lab*</i> <i>v3</i>	<i>lab*</i> <i>e</i>	<i>lab*</i> <i>t</i>	<i>lab*</i> <i>c</i>	<i>lab*</i> <i>h</i>	<i>lab*</i> <i>a</i>	<i>lab*</i> <i>b</i>	<i>lab*</i> <i>n</i>	<i>lab*</i> <i>w</i>	<i>lab*</i> <i>l</i>	<i>LAB*</i> <i>L</i>	<i>LAB*</i> <i>C</i>	<i>LAB*</i> <i>H</i>	<i>LAB*</i> <i>A</i>	<i>LAB*</i> <i>B</i>
<i>n</i>	<i>CS</i>	System	<i>lab*</i> <i>o3</i>	<i>lab*</i> <i>l3</i>	<i>lab*</i> <i>v3</i>	<i>lab*</i> <i>e</i>	<i>lab*</i> <i>t</i>	<i>lab*</i> <i>c</i>	<i>lab*</i> <i>h</i>	<i>lab*</i> <i>a</i>	<i>lab*</i> <i>b</i>	<i>lab*</i> <i>n</i>	<i>lab*</i> <i>w</i>	<i>lab*</i> <i>l</i>	<i>LAB*</i> <i>L</i>	<i>LAB*</i> <i>C</i>	<i>LAB*</i> <i>H</i>	<i>LAB*</i> <i>A</i>	<i>LAB*</i> <i>B</i>
<i>n</i>	<i>CS</i>	System	<i>lab*</i> <i>o3</i>	<i>lab*</i> <i>l3</i>	<i>lab*</i> <i>v3</i>	<i>lab*</i> <i>e</i>	<i>lab*</i> <i>t</i>	<i>lab*</i> <i>c</i>	<i>lab*</i> <i>h</i>	<i>lab*</i> <i>a</i>	<i>lab*</i> <i>b</i>	<i>lab*</i> <i>n</i>	<i>lab*</i> <i>w</i>	<i>lab*</i> <i>l</i>	<i>LAB*</i> <i>L</i>	<i>LAB*</i> <i>C</i>	<i>LAB*</i> <i>H</i>	<i>LAB*</i> <i>A</i>	<i>LAB*</i> <i>B</i>
<i>n</i>	<i>out</i>	System	<i>lab*</i> <i>o3</i>	<i>lab*</i> <i>l3</i>	<i>lab*</i> <i>v3</i>	<i>lab*</i> <i>e</i>	<i>lab*</i> <i>t</i>	<i>lab*</i> <i>c</i>	<i>lab*</i> <i>h</i>	<i>lab*</i> <i>a</i>	<i>lab*</i> <i>b</i>	<i>lab*</i> <i>n</i>	<i>lab*</i> <i>w</i>	<i>lab*</i> <i>l</i>	<i>LAB*</i> <i>L</i>	<i>LAB*</i> <i>C</i>	<i>LAB*</i> <i>H</i>	<i>LAB*</i> <i>A</i>	<i>LAB*</i> <i>B</i>
0	1	TLS00	0.0	0.0	0.0	0.0	0.0	0.0	0.0	0.0	1.0	0.0	0.0	0.01	0.0	0.0	0.0	0.0	0.0
5		NRS18	0.0	0.0	0.0	0.0	0.0	0.0	0.0	0.0	1.0	0.0	0.0	18.01	0.0	0.0	0.0	0.0	0.0
5		NRS18	0.0	0.0	0.0	0.0	0.0	0.0	0.0	0.0	1.0	0.0	0.0	18.01	0.0	0.0	0.0	0.0	0.0
1		TLS00	0.0	0.0	0.0	0.0	0.0	0.0	0.0	0.0	1.0	0.0	0.0	0.01	0.0	0.0	0.0	0.0	0.0
1	1	TLS00	0.0	0.0	0.5	0.826	0.25	0.5	0.851	0.296	-0.402	0.5	0.0	0.159	15.2	64.26	306.29	38.03	-51.79
5		NRS18	0.304	0.0	0.5	0.826	0.25	0.5	0.851	0.296	-0.402	0.5	0.0	0.134	28.35	38.7	306.29	22.9	-31.18
5		NRS18	0.304	0.0	0.5	0.826	0.25	0.5	0.851	0.296	-0.402	0.5	0.0	0.134	28.35	38.7	306.29	22.9	-31.18
1		TLS00	0.0	0.0	0.5	0.826	0.25	0.5	0.851	0.296	-0.402	0.5	0.0	0.159	15.2	64.26	306.29	38.03	-51.79
2	1	TLS00	0.0	0.0	1.0	0.826	0.5	1.0	0.851	0.592	-0.805	0.0	0.0	0.318	30.39	128.52	306.29	76.06	-103.59
5		NRS18	0.607	0.0	1.0	0.826	0.5	1.0	0.851	0.592	-0.805	0.0	0.0	0.5	56.71	77.39	306.29	45.8	-62.37
5		NRS18	0.607	0.0	1.0	0.826	0.5	1.0	0.851	0.592	-0.805	0.0	0.0	0.5	56.71	77.39	306.29	45.8	-62.37
1		TLS00	0.0	0.0	1.0	0.826	0.5	1.0	0.851	0.592	-0.805	0.0	0.0	0.318	30.39	128.52	306.29	76.06	-103.59
3	1	TLS00	0.0	0.5	0.0	0.406	0.25	0.5	0.378	-0.359	0.347	0.5	0.0	0.438	41.82	57.52	136.01	-41.37	39.95
5		NRS18	0.187	0.5	0.0	0.406	0.25	0.5	0.378	-0.359	0.347	0.5	0.0	0.134	28.35	38.7	136.01	-27.83	26.88
5		NRS18	0.187	0.5	0.0	0.406	0.25	0.5	0.378	-0.359	0.347	0.5	0.0	0.134	28.35	38.7	136.01	-27.83	26.88
1		TLS00	0.0	0.5	0.0	0.406	0.25	0.5	0.378	-0.359	0.347	0.5	0.0	0.438	41.82	57.52	136.01	-41.37	39.95
4	1	TLS00	0.0	0.5	0.5	0.578	0.25	0.5	0.545	-0.479	-0.14	0.5	0.0	0.455	43.44	24.06	196.37	-23.08	-6.77
5		NRS18	0.0	0.5	0.312	0.578	0.25	0.5	0.545	-0.479	-0.14	0.5	0.0	0.134	28.35	38.69	196.37	-37.11	-10.89
5		NRS18	0.0	0.5	0.312	0.578	0.25	0.5	0.545	-0.479	-0.14	0.5	0.0	0.134	28.35	38.69	196.37	-37.11	-10.89
1		TLS00	0.0	0.5	0.5	0.578	0.25	0.5	0.545	-0.479	-0.14	0.5	0.0	0.455	43.44	24.06	196.37	-23.08	-6.77
5	1	TLS00	0.0	0.5	1.0	0.704	0.5	1.0	0.698	-0.319	-0.946	0.0	0.0	0.615	58.64	88.32	251.33	-28.27	-83.66
5		NRS18	0.0	0.373	1.0	0.704	0.5	1.0	0.698	-0.319	-0.946	0.0	0.0	0.5	56.71	77.39	251.33	-24.77	-73.3
5		NRS18	0.0	0.373	1.0	0.704	0.5	1.0	0.698	-0.319	-0.946	0.0	0.0	0.5	56.71	77.39	251.33	-24.77	-73.3
1		TLS00	0.0	0.5	1.0	0.704	0.5	1.0	0.698	-0.319	-0.946	0.0	0.0	0.615	58.64	88.32	251.33	-28.27	-83.66
6	1	TLS00	0.0	1.0	0.0	0.406	0.5	1.0	0.378	-0.718	0.695	0.0	0.0	0.877	83.63	115.04	136.01	-82.75	79.9
5		NRS18	0.375	1.0	0.0	0.406	0.5	1.0	0.378	-0.718	0.695	0.0	0.0	0.5	56.71	77.39	136.01	-55.67	53.75
5		NRS18	0.375	1.0	0.0	0.406	0.5	1.0	0.378	-0.718	0.695	0.0	0.0	0.5	56.71	77.39	136.01	-55.67	53.75
1		TLS00	0.0	1.0	0.0	0.406	0.5	1.0	0.378	-0.718	0.695	0.0	0.0	0.877	83.63	115.04	136.01	-82.75	79.9
7	1	TLS00	0.0	1.0	0.5	0.509	0.5	1.0	0.462	-0.97	0.239	0.0	0.0	0.894	85.25	81.58	166.19	-79.21	19.48
5		NRS18	0.0	1.0	0.072	0.509	0.5	1.0	0.462	-0.97	0.239	0.0	0.0	0.5	56.71	77.39	166.19	-75.14	18.48
5		NRS18	0.0	1.0	0.072	0.509	0.5	1.0	0.462	-0.97	0.239	0.0	0.0	0.5	56.71	77.39	166.19	-75.14	18.48
1		TLS00	0.0	1.0	0.5	0.509	0.5	1.0	0.462	-0.97	0.239	0.0	0.0	0.894	85.25	81.58	166.19	-79.21	19.48
8	1	TLS00	0.0	1.0	1.0	0.578	0.5	1.0	0.545	-0.958	-0.281	0.0	0.0	0.911	86.88	48.12	196.37	-46.16	-13.55
5		NRS18	0.0	1.0	0.624	0.578	0.5	1.0	0.545	-0.958	-0.281	0.0	0.0	0.5	56.71	77.39	196.37	-74.24	-21.8
5		NRS18	0.0	1.0	0.624	0.578	0.5	1.0	0.545	-0.958	-0.281	0.0	0.0	0.5	56.71	77.39	196.37	-74.24	-21.8
1		TLS00	0.0	1.0	1.0	0.578	0.5	1.0	0.545	-0.958	-0.281	0.0	0.0	0.911	86.88	48.12	196.37	-46.16	-13.55

<i>n</i>	<i>in</i>	<i>System</i>	<i>lab*o3</i>	<i>lab*l3</i>	<i>lab*v3</i>	<i>lab*e</i>	<i>lab*t</i>	<i>lab*c</i>	<i>lab*h</i>	<i>lab*a</i>	<i>lab*b</i>	<i>lab*n</i>	<i>lab*w</i>	<i>lab*l</i>	<i>LAB*L</i>	<i>LAB*C</i>	<i>LAB*H</i>	<i>LAB*A</i>	<i>LAB*B</i>
<i>n</i>	<i>CS</i>	<i>System</i>	<i>lab*o3</i>	<i>lab*l3</i>	<i>lab*v3</i>	<i>lab*e</i>	<i>lab*t</i>	<i>lab*c</i>	<i>lab*h</i>	<i>lab*a</i>	<i>lab*b</i>	<i>lab*n</i>	<i>lab*w</i>	<i>lab*l</i>	<i>LAB*L</i>	<i>LAB*C</i>	<i>LAB*H</i>	<i>LAB*A</i>	<i>LAB*B</i>
<i>n</i>	<i>CS</i>	<i>System</i>	<i>lab*o3</i>	<i>lab*l3</i>	<i>lab*v3</i>	<i>lab*e</i>	<i>lab*t</i>	<i>lab*c</i>	<i>lab*h</i>	<i>lab*a</i>	<i>lab*b</i>	<i>lab*n</i>	<i>lab*w</i>	<i>lab*l</i>	<i>LAB*L</i>	<i>LAB*C</i>	<i>LAB*H</i>	<i>LAB*A</i>	<i>LAB*B</i>
<i>n</i>	<i>out</i>	<i>System</i>	<i>lab*o3</i>	<i>lab*l3</i>	<i>lab*v3</i>	<i>lab*e</i>	<i>lab*t</i>	<i>lab*c</i>	<i>lab*h</i>	<i>lab*a</i>	<i>lab*b</i>	<i>lab*n</i>	<i>lab*w</i>	<i>lab*l</i>	<i>LAB*L</i>	<i>LAB*C</i>	<i>LAB*H</i>	<i>LAB*A</i>	<i>LAB*B</i>
9	1	TLS00	0.5	0.0	0.0	0.055	0.25	0.5	0.111	0.383	0.321	0.5	0.0	0.265	25.25	50.21	40.0	38.46	32.28
	5	NRS18	0.5	0.109	0.0	0.055	0.25	0.5	0.111	0.383	0.321	0.5	0.0	0.134	28.35	38.7	40.0	29.64	24.88
	5	NRS18	0.5	0.109	0.0	0.055	0.25	0.5	0.111	0.383	0.321	0.5	0.0	0.134	28.35	38.7	40.0	29.64	24.88
	1	TLS00	0.5	0.0	0.0	0.055	0.25	0.5	0.111	0.383	0.321	0.5	0.0	0.265	25.25	50.21	40.0	38.46	32.28
10	1	TLS00	0.5	0.0	0.5	0.874	0.25	0.5	0.912	0.425	-0.262	0.5	0.0	0.3	28.65	55.49	328.24	47.18	-29.2
	5	NRS18	0.497	0.0	0.5	0.874	0.25	0.5	0.912	0.425	-0.262	0.5	0.0	0.134	28.35	38.7	328.24	32.9	-20.36
	5	NRS18	0.497	0.0	0.5	0.874	0.25	0.5	0.912	0.425	-0.262	0.5	0.0	0.134	28.35	38.7	328.24	32.9	-20.36
	1	TLS00	0.5	0.0	0.5	0.874	0.25	0.5	0.912	0.425	-0.262	0.5	0.0	0.3	28.65	55.49	328.24	47.18	-29.2
11	1	TLS00	0.5	0.0	1.0	0.85	0.5	1.0	0.881	0.734	-0.678	0.0	0.0	0.459	43.84	119.75	317.26	87.95	-81.26
	5	NRS18	0.8	0.0	1.0	0.85	0.5	1.0	0.881	0.734	-0.678	0.0	0.0	0.5	56.71	77.39	317.26	56.84	-52.52
	5	NRS18	0.8	0.0	1.0	0.85	0.5	1.0	0.881	0.734	-0.678	0.0	0.0	0.5	56.71	77.39	317.26	56.84	-52.52
	1	TLS00	0.5	0.0	1.0	0.85	0.5	1.0	0.881	0.734	-0.678	0.0	0.0	0.459	43.84	119.75	317.26	87.95	-81.26
12	1	TLS00	0.5	0.5	0.0	0.287	0.25	0.5	0.286	-0.11	0.487	0.5	0.0	0.486	46.33	46.54	102.85	-10.34	45.38
	5	NRS18	0.425	0.5	0.0	0.287	0.25	0.5	0.286	-0.11	0.487	0.5	0.0	0.134	28.35	38.7	102.85	-8.6	37.73
	5	NRS18	0.425	0.5	0.0	0.287	0.25	0.5	0.286	-0.11	0.487	0.5	0.0	0.134	28.35	38.7	102.85	-8.6	37.73
	1	TLS00	0.5	0.5	0.0	0.287	0.25	0.5	0.286	-0.11	0.487	0.5	0.0	0.486	46.33	46.54	102.85	-10.34	45.38
13	1	TLS00	0.5	0.5	0.5	0.0	0.5	0.0	0.0	0.0	0.0	0.5	0.5	0.5	47.71	0.0	0.0	0.0	0.0
	5	NRS18	0.5	0.5	0.5	0.0	0.5	0.0	0.0	0.0	0.0	0.5	0.5	0.5	56.71	0.0	0.0	0.0	0.0
	5	NRS18	0.5	0.5	0.5	0.0	0.5	0.0	0.0	0.0	0.0	0.5	0.5	0.5	56.71	0.0	0.0	0.0	0.0
	1	TLS00	0.5	0.5	0.5	0.0	0.5	0.0	0.0	0.0	0.0	0.5	0.5	0.5	47.71	0.0	0.0	0.0	0.0
14	1	TLS00	0.5	0.5	1.0	0.826	0.75	0.5	0.851	0.296	-0.402	0.0	0.5	0.659	62.9	64.26	306.29	38.03	-51.79
	5	NRS18	0.804	0.5	1.0	0.826	0.75	0.5	0.851	0.296	-0.402	0.0	0.5	0.75	76.06	38.7	306.29	22.9	-31.18
	5	NRS18	0.804	0.5	1.0	0.826	0.75	0.5	0.851	0.296	-0.402	0.0	0.5	0.75	76.06	38.7	306.29	22.9	-31.18
	1	TLS00	0.5	0.5	1.0	0.826	0.75	0.5	0.851	0.296	-0.402	0.0	0.5	0.659	62.9	64.26	306.29	38.03	-51.79
15	1	TLS00	0.5	1.0	0.0	0.346	0.5	1.0	0.332	-0.49	0.871	0.0	0.0	0.924	88.15	104.06	119.43	-51.12	90.63
	5	NRS18	0.612	1.0	0.0	0.346	0.5	1.0	0.332	-0.49	0.871	0.0	0.0	0.5	56.71	77.4	119.43	-38.02	67.41
	5	NRS18	0.612	1.0	0.0	0.346	0.5	1.0	0.332	-0.49	0.871	0.0	0.0	0.5	56.71	77.4	119.43	-38.02	67.41
	1	TLS00	0.5	1.0	0.0	0.346	0.5	1.0	0.332	-0.49	0.871	0.0	0.0	0.924	88.15	104.06	119.43	-51.12	90.63
16	1	TLS00	0.5	1.0	0.5	0.406	0.75	0.5	0.378	-0.359	0.347	0.0	0.5	0.938	89.52	57.52	136.01	-41.37	39.95
	5	NRS18	0.687	1.0	0.5	0.406	0.75	0.5	0.378	-0.359	0.347	0.0	0.5	0.75	76.06	38.7	136.01	-27.83	26.88
	5	NRS18	0.687	1.0	0.5	0.406	0.75	0.5	0.378	-0.359	0.347	0.0	0.5	0.75	76.06	38.7	136.01	-27.83	26.88
	1	TLS00	0.5	1.0	0.5	0.406	0.75	0.5	0.378	-0.359	0.347	0.0	0.5	0.938	89.52	57.52	136.01	-41.37	39.95
17	1	TLS00	0.5	1.0	1.0	0.578	0.75	0.5	0.545	-0.479	-0.14	0.0	0.5	0.955	91.14	24.06	196.37	-23.08	-6.77
	5	NRS18	0.5	1.0	0.812	0.578	0.75	0.5	0.545	-0.479	-0.14	0.0	0.5	0.75	76.06	38.69	196.37	-37.11	-10.89
	5	NRS18	0.5	1.0	0.812	0.578	0.75	0.5	0.545	-0.479	-0.14	0.0	0.5	0.75	76.06	38.69	196.37	-37.11	-10.89
	1	TLS00	0.5	1.0	1.0	0.578	0.75	0.5	0.545	-0.479	-0.14	0.0	0.5	0.955	91.14	24.06	196.37	-23.08	-6.77

<i>n</i>	<i>in</i>	System	<i>lab</i> * <i>o3</i>	<i>lab</i> * <i>l3</i>	<i>lab</i> * <i>v3</i>	<i>lab</i> * <i>e</i>	<i>lab</i> * <i>t</i>	<i>lab</i> * <i>c</i>	<i>lab</i> * <i>h</i>	<i>lab</i> * <i>a</i>	<i>lab</i> * <i>b</i>	<i>lab</i> * <i>n</i>	<i>lab</i> * <i>w</i>	<i>lab</i> * <i>l</i>	<i>LAB</i> * <i>L</i>	<i>LAB</i> * <i>C</i>	<i>LAB</i> * <i>H</i>	<i>LAB</i> * <i>A</i>	<i>LAB</i> * <i>B</i>
<i>n</i>	CS	System	<i>lab</i> * <i>o3</i>	<i>lab</i> * <i>l3</i>	<i>lab</i> * <i>v3</i>	<i>lab</i> * <i>e</i>	<i>lab</i> * <i>t</i>	<i>lab</i> * <i>c</i>	<i>lab</i> * <i>h</i>	<i>lab</i> * <i>a</i>	<i>lab</i> * <i>b</i>	<i>lab</i> * <i>n</i>	<i>lab</i> * <i>w</i>	<i>lab</i> * <i>l</i>	<i>LAB</i> * <i>L</i>	<i>LAB</i> * <i>C</i>	<i>LAB</i> * <i>H</i>	<i>LAB</i> * <i>A</i>	<i>LAB</i> * <i>B</i>
<i>n</i>	CS	System	<i>lab</i> * <i>o3</i>	<i>lab</i> * <i>l3</i>	<i>lab</i> * <i>v3</i>	<i>lab</i> * <i>e</i>	<i>lab</i> * <i>t</i>	<i>lab</i> * <i>c</i>	<i>lab</i> * <i>h</i>	<i>lab</i> * <i>a</i>	<i>lab</i> * <i>b</i>	<i>lab</i> * <i>n</i>	<i>lab</i> * <i>w</i>	<i>lab</i> * <i>l</i>	<i>LAB</i> * <i>L</i>	<i>LAB</i> * <i>C</i>	<i>LAB</i> * <i>H</i>	<i>LAB</i> * <i>A</i>	<i>LAB</i> * <i>B</i>
<i>n</i>	out	System	<i>lab</i> * <i>o3</i>	<i>lab</i> * <i>l3</i>	<i>lab</i> * <i>v3</i>	<i>lab</i> * <i>e</i>	<i>lab</i> * <i>t</i>	<i>lab</i> * <i>c</i>	<i>lab</i> * <i>h</i>	<i>lab</i> * <i>a</i>	<i>lab</i> * <i>b</i>	<i>lab</i> * <i>n</i>	<i>lab</i> * <i>w</i>	<i>lab</i> * <i>l</i>	<i>LAB</i> * <i>L</i>	<i>LAB</i> * <i>C</i>	<i>LAB</i> * <i>H</i>	<i>LAB</i> * <i>A</i>	<i>LAB</i> * <i>B</i>
18	1	TLS00	1.0	0.0	0.0	0.055	0.5	1.0	0.111	0.766	0.643	0.0	0.0	0.529	50.5	100.42	40.0	76.92	64.55
5	NRS18	1.0	0.217	0.0	0.055	0.5	1.0	0.111	0.766	0.643	0.0	0.0	0.5	56.71	77.4	40.0	59.29	49.75	
5	NRS18	1.0	0.217	0.0	0.055	0.5	1.0	0.111	0.766	0.643	0.0	0.0	0.5	56.71	77.4	40.0	59.29	49.75	
1	TLS00	1.0	0.0	0.0	0.055	0.5	1.0	0.111	0.766	0.643	0.0	0.0	0.529	50.5	100.42	40.0	76.92	64.55	
19	1	TLS00	1.0	0.0	0.5	0.953	0.5	1.0	0.011	0.997	0.072	0.0	0.0	0.565	53.9	105.69	4.12	105.42	7.59
5	NRS18	1.0	0.0	0.376	0.953	0.5	1.0	0.011	0.997	0.072	0.0	0.0	0.5	56.71	77.4	4.12	77.2	5.56	
5	NRS18	1.0	0.0	0.376	0.953	0.5	1.0	0.011	0.997	0.072	0.0	0.0	0.5	56.71	77.4	4.12	77.2	5.56	
1	TLS00	1.0	0.0	0.5	0.953	0.5	1.0	0.011	0.997	0.072	0.0	0.0	0.565	53.9	105.69	4.12	105.42	7.59	
20	1	TLS00	1.0	0.0	1.0	0.874	0.5	1.0	0.912	0.85	-0.525	0.0	0.0	0.601	57.3	110.97	328.23	94.35	-58.41
5	NRS18	0.993	0.0	1.0	0.874	0.5	1.0	0.912	0.85	-0.525	0.0	0.0	0.5	56.71	77.4	328.23	65.8	-40.73	
5	NRS18	0.993	0.0	1.0	0.874	0.5	1.0	0.912	0.85	-0.525	0.0	0.0	0.5	56.71	77.4	328.23	65.8	-40.73	
1	TLS00	1.0	0.0	1.0	0.874	0.5	1.0	0.912	0.85	-0.525	0.0	0.0	0.601	57.3	110.97	328.23	94.35	-58.41	
21	1	TLS00	1.0	0.5	0.0	0.172	0.5	1.0	0.198	0.319	0.948	0.0	0.0	0.75	71.58	96.75	71.43	30.82	91.71
5	NRS18	1.0	0.688	0.0	0.172	0.5	1.0	0.198	0.319	0.948	0.0	0.0	0.5	56.71	77.4	71.43	24.65	73.37	
5	NRS18	1.0	0.688	0.0	0.172	0.5	1.0	0.198	0.319	0.948	0.0	0.0	0.5	56.71	77.4	71.43	24.65	73.37	
1	TLS00	1.0	0.5	0.0	0.172	0.5	1.0	0.198	0.319	0.948	0.0	0.0	0.75	71.58	96.75	71.43	30.82	91.71	
22	1	TLS00	1.0	0.5	0.5	0.055	0.75	0.5	0.111	0.383	0.321	0.0	0.5	0.765	72.96	50.21	40.0	38.46	32.28
5	NRS18	1.0	0.609	0.5	0.055	0.75	0.5	0.111	0.383	0.321	0.0	0.5	0.75	76.06	38.7	40.0	29.64	24.88	
5	NRS18	1.0	0.609	0.5	0.055	0.75	0.5	0.111	0.383	0.321	0.0	0.5	0.75	76.06	38.7	40.0	29.64	24.88	
1	TLS00	1.0	0.5	0.5	0.055	0.75	0.5	0.111	0.383	0.321	0.0	0.5	0.765	72.96	50.21	40.0	38.46	32.28	
23	1	TLS00	1.0	0.5	1.0	0.874	0.75	0.5	0.912	0.425	-0.262	0.0	0.5	0.8	76.35	55.49	328.24	47.18	-29.2
5	NRS18	0.997	0.5	1.0	0.874	0.75	0.5	0.912	0.425	-0.262	0.0	0.5	0.75	76.06	38.7	328.24	32.9	-20.36	
5	NRS18	0.997	0.5	1.0	0.874	0.75	0.5	0.912	0.425	-0.262	0.0	0.5	0.75	76.06	38.7	328.24	32.9	-20.36	
1	TLS00	1.0	0.5	1.0	0.874	0.75	0.5	0.912	0.425	-0.262	0.0	0.5	0.8	76.35	55.49	328.24	47.18	-29.2	
24	1	TLS00	1.0	1.0	0.0	0.287	0.5	1.0	0.286	-0.221	0.975	0.0	0.0	0.971	92.66	93.08	102.85	-20.69	90.75
5	NRS18	0.849	1.0	0.0	0.287	0.5	1.0	0.286	-0.221	0.975	0.0	0.0	0.5	56.71	77.4	102.85	-17.2	75.46	
5	NRS18	0.849	1.0	0.0	0.287	0.5	1.0	0.286	-0.221	0.975	0.0	0.0	0.5	56.71	77.4	102.85	-17.2	75.46	
1	TLS00	1.0	1.0	0.0	0.287	0.5	1.0	0.286	-0.221	0.975	0.0	0.0	0.971	92.66	93.08	102.85	-20.69	90.75	
25	1	TLS00	1.0	1.0	0.5	0.287	0.75	0.5	0.286	-0.11	0.487	0.0	0.5	0.986	94.03	46.54	102.85	-10.34	45.38
5	NRS18	0.925	1.0	0.5	0.287	0.75	0.5	0.286	-0.11	0.487	0.0	0.5	0.75	76.06	38.7	102.85	-8.6	37.73	
5	NRS18	0.925	1.0	0.5	0.287	0.75	0.5	0.286	-0.11	0.487	0.0	0.5	0.75	76.06	38.7	102.85	-8.6	37.73	
1	TLS00	1.0	1.0	0.5	0.287	0.75	0.5	0.286	-0.11	0.487	0.0	0.5	0.986	94.03	46.54	102.85	-10.34	45.38	
26	1	TLS00	1.0	1.0	1.0	0.0	1.0	0.0	0.0	0.0	0.0	1.0	1.0	95.41	0.0	0.0	0.0	0.0	
5	NRS18	1.0	1.0	1.0	0.0	1.0	0.0	0.0	0.0	0.0	0.0	1.0	1.0	95.41	0.0	0.0	0.0	0.0	
5	NRS18	1.0	1.0	1.0	0.0	1.0	0.0	0.0	0.0	0.0	0.0	1.0	1.0	95.41	0.0	0.0	0.0	0.0	
1	TLS00	1.0	1.0	1.0	0.0	1.0	0.0	0.0	0.0	0.0	0.0	1.0	1.0	95.41	0.0	0.0	0.0	0.0	